フライアッシュ中の未燃カーボンに注目したジオポリマーモルタルのフレッシュ性状

 九州工業大学大学院
 学生会員
 ○五島敬太

 九州工業大学大学院
 正会員
 合田寛基 日比野誠

 西松建設株式会社
 正会員
 原田耕司

 北九州市立大学
 非会員
 高巣幸二

1. はじめに

フライアッシュ(以下, FA), 高炉スラグ微粉末(以下, BFS), シリカフュームなどの活性フィラーとケイ酸ナトリウムなどを主材料とするジオポリマー(以下, GP)は, セメントクリンカーを使用した場合より, 80%程度二酸化炭素を削減できると試算されている. これまでに, GPの基礎物性, 構造利用や耐久性などの研究がなされている. また, 近年, 未燃カーボンを除去して得られる FA の有効活用も期待されているが, GP での検討事例でBFS 置換率と材料特性に言及した事例はない.

そこで本研究では、未燃カーボンを除去することで得られる FA(以下, FA-1.1)と未燃カーボンを除去する前の FA(以下, FA-13)に BFS を併用して作製した GP モルタルのフレッシュ性状に関する評価を行うことを目的とした. なお、未燃カーボンの除去方法としては浮遊選鉱法 1)を採用した.

2. 実験概要

2.1 使用材料と配合

活性フィラーは、FAとしてFA-13、FA-1.1を用いた.また、粉体はFAの他に高炉スラグ微粉末(以下、BFS)を用いた. 細骨材はモルタル中の含水量に影響を与えないように、絶乾状態の海砂を使用した. 配合に関して、ペーストが流動性に寄与するため本実験では、ペーストと細骨材の割合を体積比で1:1とし、細骨材量が一定のモルタル配合とした. 使用材料の物性を表1に示す.

未燃カーボン量が多い FA を使用した GP では、流動性が著しく悪化することが懸念されることから、配合選定のため予備実験を行った. 予備実験は BFS を全粉体の体積比で置換した割合(以下、BFS/P)が 10%において、GP 溶液と粉体の比(GPW/P) をパラメータとして、フロー試験を実施した. なお、各 FA を用いた GP モルタルの目標フロー値は 170mm±10mm とした. その後、決定した BFS/P=10%の配合を基本配合とし、GPW を一定にしたまま BFS/P=30%、50%の配合を決定した. GP モルタルの配合を表 2 に示す.

表 1 使用材料

材料		密度(g/cm³)	強熱減量(%)	
アルカリシリカ溶液(GPW)		1.40	-	
フライアッシュ	FA-13	2.09	13.0	
(FA)	FA-1.1	2.18	1.1	
高炉スラグ微粉末(BFS)		2.90	-	
海砂(S)		2.55	-	

表 2 GP モルタルの配合

FA 種別	BFS/P	GPW	FA	BFS	S	
	%	kg/m³				
FA-13	10	417	361	56		
FA-1.1		351	470	69		
FA-13	30	417	281	167	1250	
FA-1.1		351	365	208	1250	
FA-13	50	417	201	278		
FA-1.1		351	261	347		

2.2 実験方法

本実験では、ペースト容積一定の条件の下で、BFS/Pをパラメータとして前節の配合に基づき作製した GP モルタルを対象に、モルタルフローの広がりを測定する試験(以下、フロー速度試験)、モルタルフロー試験(JIS R 5201)、モルタルフロー可使時間の測定を実施した。フロー速度試験の実験方法については、透明なアクリルテーブル上でフロー試験を行い、その様子を下からデジタルカメラで動画撮影を行った。フローコーンを上げた瞬間を 0 秒とし、その後 2 秒ごとのフロー値をフローの広がりが収束するまで計測した。フロー速度については以下の式(1)に従い算出した。

$$U = \frac{L_{n+1} - L_n}{T_{n+1} - T_n} \quad \cdot \quad \cdot \quad (1)$$

U:フロー速度(mm/s)

L: フロー値(mm)

T: 測定時間(s)

フロー試験ではフローコーンを引き上げ、フローの広がりが 収束した時点でのフロー値を0打フロー値とし、その後フローテーブルによって15回の打撃を与えたものを15打フロー値とした。可使時間の測定は0打フロー値が練り上り直後 からのフロー値から100mmに達するまでの時間を10分お きに計測した。

3. 実験結果および考察

図 1 に基本配合(BFS/P=10%)におけるフロー速度試験の結果を示す。FA-1.1GP,FA-13GP ともに 30 秒経過したあたりからはフローが収束し始め,ほとんどフロー速度に差異は見られないが,最初の 20 秒程度,特に 0 秒から 10 秒あたりでは FA-1.1GP の方が FA-13GP よりもフロー速度が大きくなった。FA-1.1 を用いた GP モルタルでは未燃カーボンが少なく FA の球形が多いため転がり抵抗が小さいが,一方で,FA-13を用いた GP モルタルは FA-1.1GP に比べて未燃カーボンが多く形状が複雑な FA が多いため,抵抗が大きくなるので,FA-1.1GP の方が FA-13GP に比べてフローの広がりが速くなったと考えられる。

図2に、本研究で得られたフロー試験の結果を示す。同図より、FA-1.1を使用したGPモルタルではBFS/Pの増加に伴い、フロー値は小さくなった。しかし一方で、FA-13GPでは、BFS/Pとフロー値に関係性が見られなかった。このことから、FA-1.1GPと異なり、強熱減量の高いFA-13GPではBFS/PとGPモルタルのフロー値に関係性がないことが示された。

図3にBFS/P毎のフロー値の経時変化を示す.BFS/Pが大きくなるに伴い、FA-13GP、FA-1.1GPともに、可使時間が減少していることがわかる.特に、BFS/Pの増加に伴って、FA-1.1GPでは可使時間が短くなる傾向がみられる.この要因としてFA-1.1GPでは、モルタル中のBFSとGPWの接触面積が増加し、BFSによる硬化反応が急速に進んだためと考えられる.

4. まとめ

本実験環境下で得られた知見を以下に示す.

- (1) FA-1.1GP では BFS/P の増加に伴いフロー値が低下したが、FA-13GP ではフロー値と BFS/P の関係性が確認できなかった.
- (2) BFS/P の増加に伴い、使用する FA に関わらず可使時間 は短くなるが、未燃カーボンの多い FA-13GP では FA-1.1GP よりも可使時間が長くなる傾向を示した.
- (3) 初期のフロー速度は転がり抵抗の小さい FA-1.1GP が FA-13GP よりも速くなるため、同一フロー値が得られて も、広がり方に差異があることが確認された.

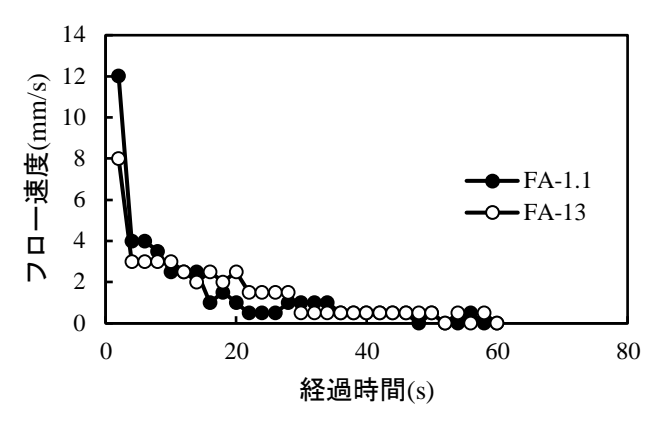


図1 フロー速度と経過時間の関係

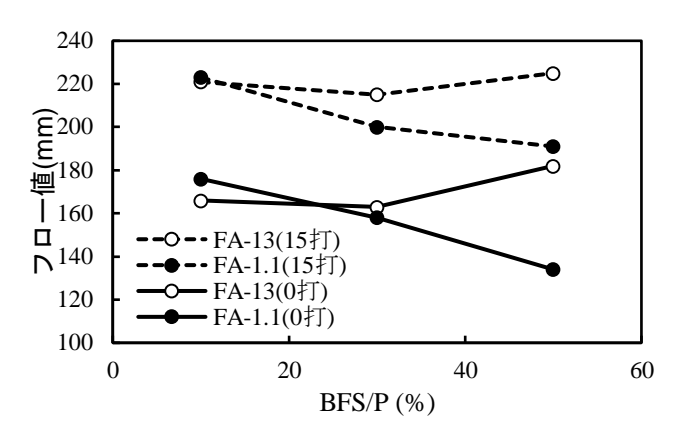


図2 フロー値とBFS/Pの関係

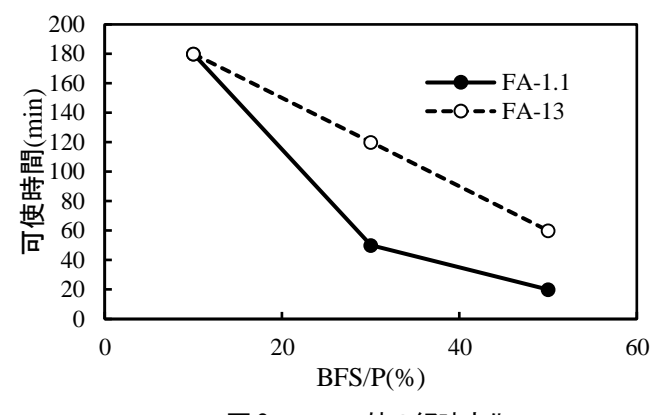


図3 フロー値の経時変化

謝辞

本研究は、環境研究総合推進費【3-1703】の助成を受けて 実施した、ここに記して謝意を表する。

参考文献

(1) 森山伸智、高巣幸二、松藤泰典、三浦和侑:浮遊選鉱法によるフライアッシュ中の未燃カーボン除去に関する実験的研究 その1 中型未燃カーボン除去装置の開発、日本建築学会大会学術講演梗概集(北陸)、2010年9月